

Т а б л и ц а

$q$ , кВт/см <sup>2</sup>	$V$ , м/с	$\alpha$ , Вт/см <sup>2</sup> ·град*	$\Delta P$ , атм	$t$ , час**	$\Delta T$ , °C
5.6	1.1	30			
7.1	1.9	47	<3	50	< 130

\* Непосредственные измерения.

\*\* Устойчивость теплообмена в течение всего времени прогона.

до 7 кВт/см<sup>2</sup> при незначительных перегревах теплообменника в течение 50 часов при умеренных расходах теплоносителя ( $v \approx 2$  м/с,  $Q=200$  г/с). (см. таблицу).

Таким образом, нами экспериментально определены основные характерные закономерности устойчивого режима испарительно-конденсационной теплоотдачи в ВПЯМ, предложена качественная картина процесса интенсификации и экспериментально продемонстрирована возможность отведения тепловых нагрузок высокой плотности.

### Л и т е р а т у р а

- [1] Аполлонов В.В., Бородин В.И., Гончаренко В.И., Останин В.В., Прохоров А.М., Хомич В.Ю., Христян Е.В., Четкин С.А. - Изв. АН СССР, сер. физическая, 1984, т. 48, № 8, с. 1639-1643.
- [2] Майоров В.А., Васильев Л.Л. - ИФЖ, 1981, т. XL1, № 6, с. 965-969.
- [3] Несис Е.И. Кипение жидкостей, М.: Наука, 1973.

Институт общей физики  
АН СССР, Москва

Поступило в Редакцию  
2 ноября 1987 г.

Письма в ЖТФ, том 14, вып. 3

12 февраля 1988 г.

МЕЗАПОЛОСКОВЫЕ  $InGaAsP/InP$  ( $\lambda=1.3$  МКМ)  
КВАНТОВОРАЗМЕРНЫЕ ЛАЗЕРЫ РАЗДЕЛЬНОГО  
ОГРАНИЧЕНИЯ ( $J_{\text{пор}} = 380$  А/см<sup>2</sup>,  $P=0.5$  Вт,  $T=18^{\circ}\text{C}$ )

Д.З. Гарбузов, С.В. Зайцев, В.И. Колышкин,  
Т.А. Налет, А.В. Овчинников, И.С. Тарасов

В работе продолжены исследования  $InGaAsP/InP$  ( $\lambda=1.3$  мкм) лазеров [1-3], полученных новым вариантом метода жидкостной эпитаксии, при котором тонкие активные области лазерных структур изготавливаются в процессе движения подложки под соответствующим

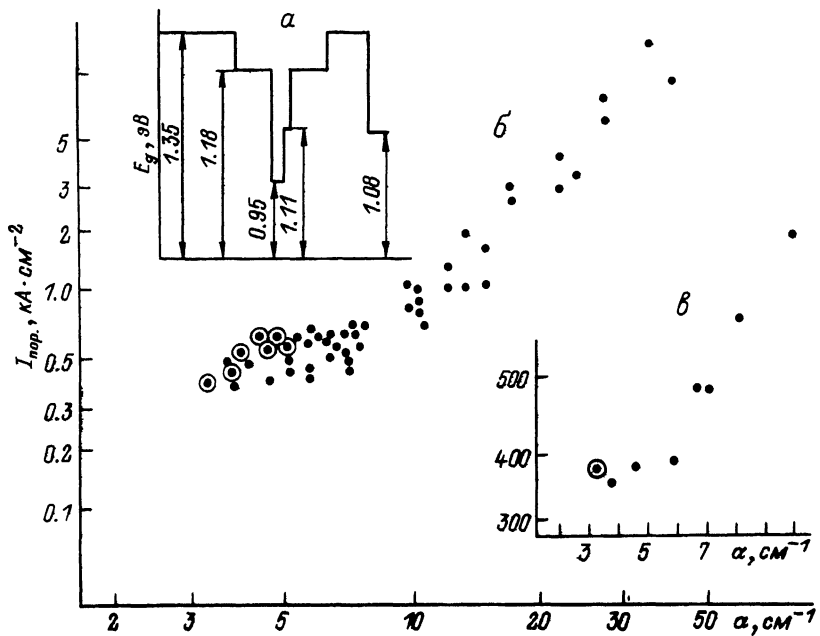


Рис. 1. а - схематическое изображение зонной диаграммы лазерной гетероструктуры, б - зависимость пороговой плотности тока от потерь на выход для мезаполосковых Р-1004, Р-787, Р-913 и зашоренных (Р-931) лазеров (толщина активных областей  $d_a=120$ , 190, 270 и 120 Å), в - аналогичная зависимость, как функция потерь на выход в линейном масштабе (точки в кружках - лазеры с диэлектрическим покрытием на одном зеркале резонатора).

расплавом [4]. Недавние эксперименты показали, что выращивание после активной области дополнительного антистратызывающего слоя позволяет уменьшить непланарность таких структур при  $d_a=300-500$  Å и получить квантоворазмерные  $InGaAsP/InP$  гетероструктуры с  $d_a=100-300$  Å [5, 6]. Особенности технологий, квантоворазмерные спектры фотолюминесценции и первые результаты, полученные для квантоворазмерных  $InGaAsP/InP$  лазеров с широким контактом описаны в предыдущих работах [5-7].

В данной работе впервые рассматриваются результаты исследования непрерывных полосковых лазеров, изготовленных из аналогичных структур с тонкими активными областями ( $d_a=100-300$  Å).

Зонная диаграмма лазерных гетероструктур приведена на рис. 1, а. Более подробное описание вопросов, касающихся легирования, и

методов изготовления лазеров мезаполосковых конструкций можно найти в [2]. Приводимые в настоящей работе данные относятся к лазерам, изготовленным из трех структур – Р-913, Р-787 и Р-1004, толщины активных областей которых соответственно составляют 270, 190 и 120 Å. Ширина полоска (активной области) в этих структурах равнялась 15–17 мкм. Мезаполосковые лазеры наиболее удобны для определения пороговых параметров структур, поскольку в них точно известна ширина рабочей области  $W$  и соответствуют шунтирующие токи по периферийным, не рабочим областям.

На рис. 1, б показана зависимость пороговой плотности тока от потерь на выход  $\alpha$  для мезаполосковых лазеров с различной длиной резонатора, изготовленных из трех упомянутых выше структур, а также для зарошенных лазеров с  $W=17$  мкм из структуры Р-931 с  $a_a=120$  Å. Параметры зарошенных лазеров будут предметом более подробного обсуждения в следующей работе [8]. Здесь же их пороговые плотности тока приведены только для того, чтобы показать, что рассматриваемая зависимость  $J_{\text{пор}}=f(\alpha)$  носит достаточно общий характер и не является специфичной только для мезаполосковых лазеров. В зависимости пороговой плотности тока суммированы данные, полученные при импульсных измерениях ( $T = 1.5$  мкс,  $f = 10$  кГц), как для напаянных, так и не напаянных лазеров. Несколько экспериментальных точек, обведенных в кружки, относятся к образцам, на одно из зеркал которых нанесено шестислойное диэлектрическое зеркало  $Si/SiO_2$  с коэффициентом отражения для  $\lambda = 1.3$  мкм не менее 90 %. При рассмотрении данных, представленных на рис. 1, б, прежде всего обращает на себя внимание тот факт, что для нескольких лазеров с наименьшими потерями на выход ( $\alpha > 5 \text{ см}^{-1}$ ) и максимальной длиной резонатора, значения пороговых плотностей тока не превышают  $400 \text{ A/cm}^2$ , а для наиболее низкопорогового лазера  $J_{\text{пор}} = 380 \text{ A/cm}^2$ . Эти результаты, по-видимому, являются лучшим достижением для инжекционных лазеров с  $\lambda = 1.3$  мкм. Увеличение потерь до значений  $\alpha > 7 \text{ см}^{-1}$  приводит к резкому возрастанию пороговых плотностей тока в рассматриваемых квантоворазмерных лазерах. Чтобы лучше продемонстрировать характер зависимости  $J_{\text{пор}} = f(\alpha)$  в области  $\alpha < 10 \text{ см}^{-1}$ , значения пороговых плотностей тока для лучших лазеров перестроены на рис. 1, в, как функция потерь на выход в линейном масштабе. Как видно из рис. 1, б, в, при  $\alpha = 10 \text{ см}^{-1}$  (длина резонатора с естественным зеркалом  $\approx 1$  мм) пороговые плотности тока в лазерных возрастают уже почти вдвое, а при  $\alpha = 50 \text{ см}^{-1}$  – более чем на порядок по сравнению с образцами, у которых  $\alpha < 5 \text{ см}^{-1}$ .

Сверхлинейное возрастание пороговой плотности тока с увеличением потерь в  $InGaAsP/InP$  лазерах с тонкими активными областями, обнаруженное уже в первых работах этого цикла [9, 10], было объяснено усилением в них компоненты тока, обусловленной Оже-рекомбинацией. В последующих работах [11, 12] было установлено, что такое же явление имеет место и в случае широкозонных квантоворазмерных  $AlGaAs/GaAs$  и  $InGaAsP/GaAs$  лазеров, и причиной его является насыщение усиления в активной области.

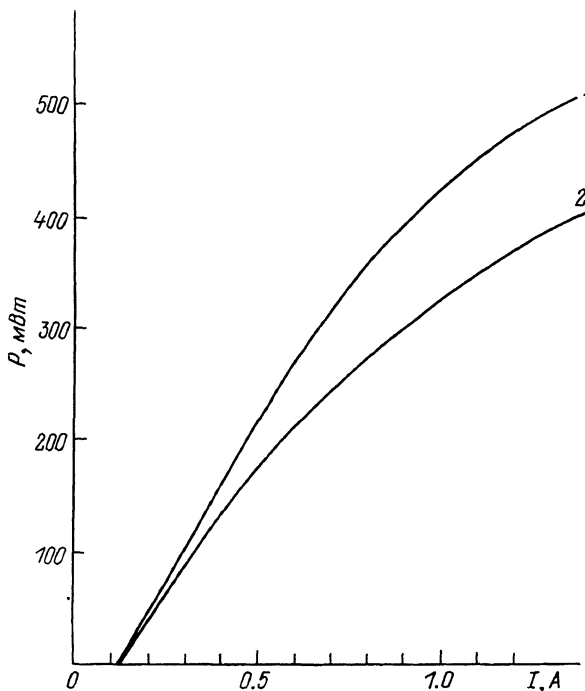


Рис. 2. Ватт-амперные характеристики мезаполосковых лазеров в непрерывном режиме генерации. 1 - Р-913-6,  $L = 1000$  мкм,  $W = 17$  мкм; 2 - Р-913-54,  $L = 1380$  мкм,  $W = 17$  мкм с диэлектрическим зеркалом  $R > 90\%$ .

Однако проведенные нами расчеты [12, 13] показали, что при значениях потерь  $\alpha < 5 \text{ см}^{-1}$  ни эффект насыщения усиления, ни Оже-рекомбинация не должны влиять на пороговые плотности тока, и соответствующие значения  $J_{\text{пор}}$  должны были быть около 60–70 А/см<sup>2</sup>, то есть даже меньше, чем в квантоворазмерных лазерах с  $\text{GaAs}$ -активной областью. В то же время исследования эффективности фотолюминесценции [14] и электролюминесценции [7] квантоворазмерных  $\text{InGaAsP}/\text{InP}$  структур свидетельствуют о том, что при экспериментально полученных значениях пороговых плотностей тока  $\approx 400 \text{ A/cm}^2$  скорость Оже-рекомбинации уже примерно в два раза превышает скорость излучательных переходов. Причиной значительного вклада Оже-рекомбинации в пороговый ток может являться то обстоятельство, что пороговые концентрации неравновесных носителей в реальных лазерах выше расчетных. Повидимому, это увеличение пороговых концентраций вызвано влиянием других типов потерь, которые в расчетах [12, 13] предполагались пренебрежимо малыми по сравнению с потерями на выход.

Как уже отмечалось [3], отличительной особенностью лазеров раздельного ограничения является сохранение высокой дифференциальной эффективности для образцов с большими длинами резонаторов. Именно в таких образцах получены максимальные мощности излучения в непрерывном режиме [3]. На рис. 2 кривые 1 и 2 иллюстрируют ватт-амперные характеристики двух лазеров с длинами резонаторов 1 и 1.4 мм, изготовленных из структуры P-913. Эти образцы были напаяны на медные теплоотводы, которые во время измерений ватт-амперных характеристик были установлены на микрохолодильники со следящей системой, поддерживающей постоянное значение температуры теплоотвода ( $t = 0^\circ\text{C}$ ). Первый из этих лазеров имел наибольшую<sup>1</sup> из наблюдавшихся значений дифференциальную эффективность  $\gamma_d = 45\%$  на одно зеркало. При пятнадцатикратном превышении пороговой плотности ( $I = 1.5 \text{ A}$  и  $U = 2.20 \text{ V}$ ) мощность непрерывного излучения с каждого зеркала была более 400 мВт, общий коэффициент преобразования электрической мощности в световую при четырехкратном превышении пороговой плотности составлял 50%.

Кривая 2 на рис. 2 демонстрирует лучшие результаты для одного из лазеров с диэлектрическим зеркалом. Линейному участку ватт-амперной характеристики этого образца соответствует значение дифференциальной эффективности 52%; при  $I = 1.5 \text{ A}$  и  $U = 1.72 \text{ V}$  мощность непрерывного излучения была свыше 500 мВт. Коэффициент преобразования электрической мощности в световую равен 38% при  $I = 400 \text{ mA}$ .

Сравнительно небольшая разница в величине мощности для первого и второго лазеров, по нашему мнению, объясняется тем, что для нанесения зеркала был выбран не лучший образец. Есть все основания полагать, что для образцов с диэлектрическими зеркалами могут быть получены мощности излучения в 1.5 раз более высокие, чем те, которые приведены на рис. 2.

Тем не менее, полученные величины непрерывной мощности и КПД являются рекордными для инжекционных лазеров с  $\lambda = 1.3 \text{ мкм}$ .

Таким образом, приведенные результаты свидетельствуют о том, что квантоворазмерные  $\text{InGaAsP}/\text{InP}$  гетероструктуры раздельного ограничения, полученные разработанным методом жидкостной эпитаксии, могут служить основой для изготовления полосовых непрерывных лазеров с рекордными порогами и мощностями излучения.

В заключение авторы благодарят Ж.И. Алферова за интерес к работе, Ю.В. Ильина за помощь в измерениях, Н.Д. Ильинскую, Т.Н. Дрокину за подготовку образцов, В.Б. Халфина за полезные обсуждения результатов.

<sup>1</sup> Типичные значения дифференциальной эффективности для лазеров данной партии составляли 25 %.

## Л и т е р а т у р а

- [1] Алферов Ж.И., Гарбузов Д.З., Нивин А.Б., Овчинников А.В., Тарасов И.С. - ФТП, 1985, т. 19, № 3, с. 156-159.
- [2] Алферов Ж.И., Гарбузов Д.З., Давидюк Н.Ю., Ильинская Н.Д., Нивин А.Б., Овчинников А.В., Тарасов И.С. - Письма в ЖТФ, 1985, т. 11, в. 22, с. 1345-1349.
- [3] Алферов Ж.И., Гарбузов Д.З., Давидюк Н.Ю., Зайцев С.В., Нивин А.Б., Овчинников А.В., Стругов Н.А., Тарасов И.С. - Письма в ЖТФ, 1987, т. 13, в. 9, с. 552-557.
- [4] Алферов Ж.И., Гарбузов Д.З., Арсентьев И.Н., Бер Б.Я., Вавилова Л.С., Красовский В.В., Чудинов А.В. - ФТП, 1985, т. 13, № 6, с. 1108-1114.
- [5] Арсентьев И.Н., Гарбузов Д.З., Конников С.Г., Погребицкий К.Ю., Свелокузов А.Е., Фалеев Н.Н., Чудинов А.В. - ФТП, 1986, т. 20, № 12, с. 2206-2211.
- [6] Гарбузов Д.З., Чалый В.П., Чудинов А.В., Свелокузов А.Е., Овчинников А.В. - ФТП, 1987, т. 21, № 3, с. 437-441.
- [7] Алферов Ж.И., Гарбузов Д.З., Зайцев С.В., Нивин А.Б., Овчинников А.В., Тарасов И.С. - ФТП, 1987, т. 21, № 5, с. 826-829.
- [8] Гарбузов Д.З., Зайцев С.В., Колышкин В.И., Кулагина М.М., Мокина И.А., Нивин А.Б., Овчинников А.В., Тарасов И.С. - Письма в ЖТФ, 1988, т. 14, в. 2.
- [9] Евтихьев В.П., Гарбузов Д.З., Соколова З.Н., Тарасов И.С., Халфин В.Б., Чалый В.П., Чудинов А.В. - ФТП, 1985, т. 19, № 8, с. 1420-1423.
- [10] Гарбузов Д.З., Евтихьев В.П., Тарасов И.С., Чудинов А.В. - Тез. докл. а Ш Всесоюз. конф. Часть 2, Минск, 1985, с. 48.
- [11] Zorgу Р.С., Reisinger A.R., et all. - Electron. Lett., 1986, v. 22, N 9, p. 475-476.
- [12] Гарбузов Д.З., Тикунов А.В., Халфин В.Б. - ФТП, 1987, т. 21, № 6, с. 1085-1094.
- [13] Гарбузов Д.З., Евтихьев В.П., Карпов С.Ю., Соколова З.Н., Халфин В.Б. - ФТП, 1985, т. 19, № 3, с. 449-455.
- [14] Alferov Zh.I., Garbuzov D.Z. - 18 International Conferense on the Physics of Semiconductors, Sweden, Stockholm, 1986, p. 136.

Физико-технический институт  
им. А.Ф. Иоффе АН СССР,  
Ленинград

Поступило в Редакцию  
27 октября 1987 г.